

为病变多在臉部,所以剂量的增加比較大胆一些。

疗效問題 春季卡他性結合膜炎的疗效是不很滿意的, 虽然治疗 1—2 次以上, 症状見到減輕, 但滤泡仍然存在, 因而我們認為, 如能先行手术处理滤泡, 再行磷-32敷貼治疗, 可能收到更好的效果。浅层巩膜炎及胬肉疗效不够滿意, 可能与剂量尚未掌握有关。浆細胞瘤, 基底細胞癌, 鳞状上皮癌的疗效都是比較滿意的。今后在这一方面值得作进一步的觀察。灼伤后引起的角膜浅层血管衣, 我們的結果是无效的, 但分次剂量仅 30 伦, 总剂量仅 80 伦, 可能剂量不够, 以后必須进一步地研究来提高疗效。

(編輯部收稿日期 1962 年 3 月 17 日)

放射性同位素在机械磨损研究方面的应用

罗唯力 袁錫軒 倪寶玉

吳豐璋

(第一机械工业部机砖科学研究院材料研究所) (农业机械部内燃机研究所)

近年来, 利用放射性同位素来研究机械磨损已越来越广泛。根据大量文献所記載的實驗例証表明, 应用放射性同位素方法确实能够較快地获得灵敏度較高的效果, 特別是因其具有不需要拆卸机件便可以簡便地觀察出机件整个真实磨损过程的优点, 这就使之成为研究机械磨损的一个重要方法。

至于利用放射性同位素来研究机械磨损的原理和方法, 已有不少專門书籍和文集介紹, 这里所述的只是几个由材料研究所和内燃机研究所合作的以及由材料研究所单独进行的研究实例。

一、发动机零件磨损研究

(1) 研究柴油掺水对噴油泵柱塞的磨损影响 研究柴油掺水后噴油泵柱塞的磨损, 目的是探索不同掺水率、不同水质以及不同掺水方法对柱塞磨损的影响規律。油泵柱塞的材料为 IIIX15 滚珠鋼, 淬硬至 $HR_c = 61$ 。如要用光学測量仪器測量出柱塞发生一微米的径向磨损, 估計噴油泵需要运转 300 小时; 而利用放射性同位素測量, 則可在 30 分鐘內測量一个磨损曲線上的数据。

試驗是在一个油泵柱塞磨损試驗台上进行的, 其装置系統如图 1 所示。

油泵柱塞重 25 克, 在反应堆内照射活化至总放射強度为 1 毫居里, 所得的主要同位素为 Fe^{59} 。将活化后的柱塞装入噴油泵內, 当进行試驗时, 从油箱 4 进入噴油泵 3 内的清潔柴油(或掺水柴油)清洗了柱塞付, 并把放射性的顆粒带至在抽滤漏斗 7 中的細滤紙上, 而柴油仍在封閉系統中繼續循环。每隔 30 分鐘將滤紙取出, 测量其放射性。

图 2 所示为测量滤紙放射性的方块图, 应用了

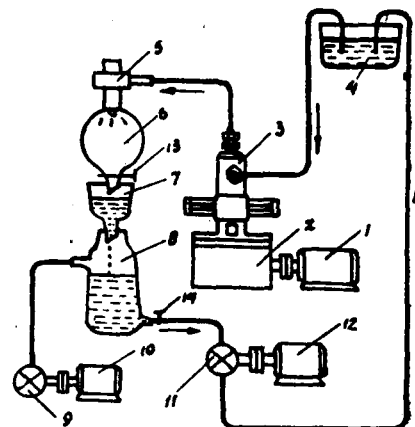


图 1 测量油泵柱塞磨损的装置系統图
 1—电动机；2—传动箱；3—噴油泵；
 4—油箱；5—噴油器；6—集油瓶；
 7—抽滤漏斗；8—抽滤瓶；9—抽气机；
 10—电动机；11—輸油泵；12—电动机；
 13,14—开关。

閃爍計數器，以保證有較高的靈敏度。

試驗所得的主要結果，示于圖 3。

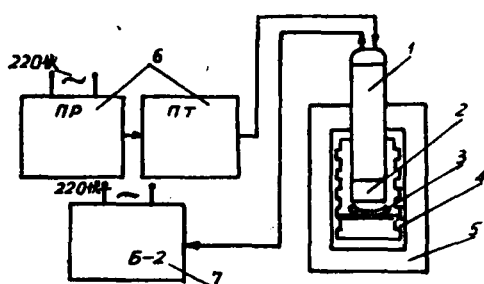


圖 2 激測紙放射性的方塊圖

1—Π-349-2 閃爍頭； 2—NaI(Tl)—晶体；
3—濾紙； 4—有机架； 5—路徑； 6—
“Opex”高壓穩压裝置； 7—B-2 型定標器。

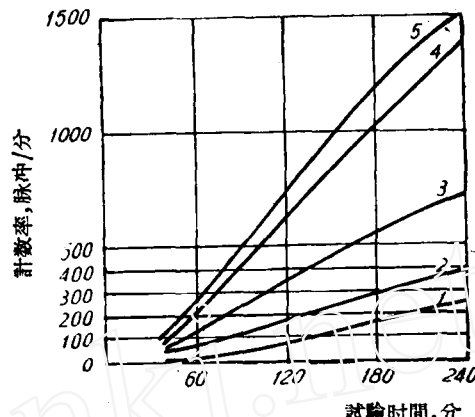


圖 3 在不同添水條件下噴油泵柱塞磨損情況的比較 ($n_H = 1440$ 轉/分, $P_d = 80$ 公斤/厘米²)
1—純油； 2—摻 10% 自來水(不加乳化劑, 机械攪拌混合)； 3—摻 10% 蒸餾水(加 5/1000 乳化劑)；
4—摻 10% 自來水(加 5/1000 乳化劑)； 5—摻 20% 自來水(加 5/1000 乳化劑)。

(2) 研究柴油摻水對活塞環磨損影響 試驗所用的為 1105 型單缸柴油發動機，功率為 10 匹馬力，汽缸直徑為 105 毫米。活塞環的活化方法是沿其圓周均勻嵌入 9 根直徑 1 毫米、長度約 1 毫米的 Co⁶⁰針，總放射強度為 5 毫居里。試驗之前，先作 2 小時跑合運轉。在每項試驗結束之後，以純柴油進行 15 分鐘運轉。進行第二次試驗之前，用乳化油(摻水柴油)作 15 分鐘運轉。

同時採用連續測量法及周期取樣測量法測量滑油放射性。連續測量的裝置是用在油路系統旁邊安放四支 CTC-8 計數管及在濾油器旁邊設置的四支 MC-8 計數管組成。測量的結果表明，絕大部分顆粒被濾油器所收集；取樣測量則是分別用 10 支 CTC-1 計數管及圖 2 所示的閃爍計數器進行的，每次取樣為 100 毫升。

上述兩種測量方法所得的曲線形狀是相仿的。圖 4 所示為本試驗用的油路裝置，圖 5,6,7 為試驗所得的結果。

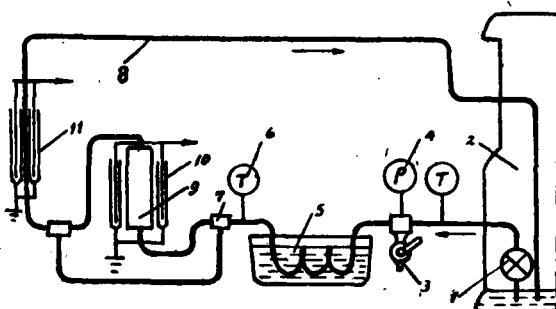


圖 4 激測活塞環磨損的油路系統

1—机油泵； 2—1105 发动机； 3—取样开关；
4—压力表； 5—冷却水箱； 6—温度表；
7—三通阀； 8—油管； 9—滤油器； 10—
MC-8 計數管組； 11—CTC-8 計數管組。

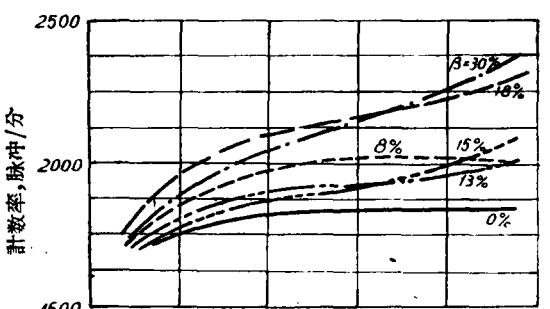


圖 5 摻水率 β 對活塞環磨損的影響
(泵前摻自來水)

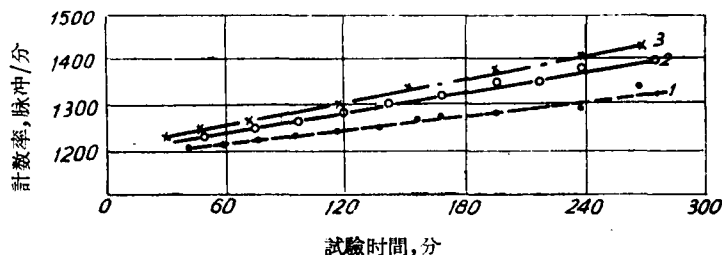


图 6 不同水质对活塞环磨損影响的比較(泵前掺水, 掺水率为 15%)

1—蒸餾水; 2—自来水; 3—河水。

二、在刀具磨損方面的研究

如果用活性刀具进行切削时, 則車刀每一瞬时都会被磨下以微克为单位的放射性顆粒, 它可能粘附在切屑或被加工表面上, 亦可能掉入周围介质中。但試驗表明, 在一般的情况下, 大部分(80% ~ 90%) 的磨損顆粒是粘附在切屑的表面上的。因此, 只需要測量出切屑的放射性强度, 便可換算出刀具的磨損数值。

1. 研究硬質合金 T5K10 和 T15K6 的切削性能

将 0203 型 T5K10 和 T15K6 刀片送入反应堆照射, 刀片总放射性强度为 5 毫居里, 比放射性为 2.24 毫居里/克(主要有 Co^{60})。受照射的刀片安装在带有断屑装置的机械夹固的刀杆上, 这时刀具的主要几何参数为:

$$\begin{aligned}\gamma &= 10^\circ; \varphi = 45^\circ; \varphi_1 = 45^\circ; \\ \alpha &= 10^\circ; \lambda = 0^\circ; \quad \gamma = 0.6.\end{aligned}$$

試件用 45 号热軋圓鋼, 尺寸为 $\phi 150 \times 75$, 放射性的刀头及試件的被切削部分均密封在切屑收集器内, 以便容易收集被切下来的放射性切屑, 以及防止放射性灰尘微粒飞溢外界(图 8)。

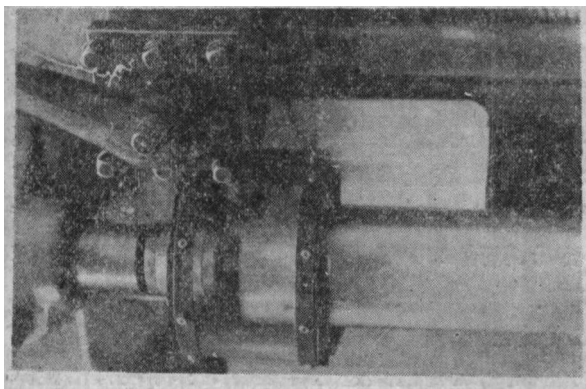


图 8 切屑收集器

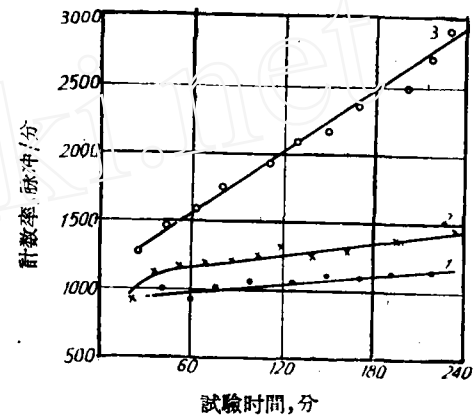


图 7 不同掺水方法对活塞环磨損影响的比較(掺 15% 自来水)

1—泵前掺水; 2—加乳化液; 3—进气管掺水。

試驗是在 C620 高速車床上进行的, 选用半精加工的切削用量: $s = 0.2$ 毫米/轉, $t = 0.6$ 毫米, $v = 30 \sim 170$ 米/分。切削时不用冷却潤滑液。

测量切屑放射性的試样取 35 克, 以利于觀察跑合点。每当用放射性刀片进行过一次走刀之后, 立即用非放射性刀片以固定的切削用量将工件的已加工表面切去一层, 以消除放射性刀片殘留在工件上的磨損顆粒对下次切削試驗的影响。試驗表明:

- (1) 在半精加工的条件下, T15K6 比 T5K10 耐磨;
- (2) 在固定的切削深度及走刀量的条件下, 都可以找到一个合理的切削速度, 这时刀具的

磨损为最小。本试验求出的 $v_{合}$ = 135 米/分，过低或过高的切削速度都引起刀具磨损的增加，并且 T5K10 比 T15K6 增加得更为显著；

(3) 可以明显地观察到，每个刀尖在切削开始阶段都存在一个跑合期。

2. 評定45号鋼等五种鋼材的可切削性 利用带放射性同位素的硬质合金刀具车削不同型号的钢材，测定一定重量(100克)切屑上所具有的放射性(刀片磨损颗粒)，作为评定这些钢材的可切削性的依据，并作出磨损颗粒的重量(微克)与计数率(脉冲/分)的关系曲线——定度曲线，以计算刀具的耐用度。据某些文献介绍，作定度曲线之关键在于硬质合金之溶解。我们采用熔融法溶解之，结果极为快速简单，在0.005毫克至0.2毫克范围内，定度曲线均良好。

评定的钢材共五种：低碳钢、中碳钢、高碳钢、20X、40X，全部为热轧圆钢。采用的硬质合金刀片为T5K10，T15K6二种，其型号、几何参数以及活性均与(1)节所述相同。

每个刀尖在经过跑合选片之后进行切削，所用走刀量为 $s = 0.2$ 毫米/转，切削深度 $t = 0.5$ 毫米、切削速度 $v = 50, 150, 250$ 米/分，用一把刀尖以每种切削速度分别轮流切削五种钢材。用放射性刀具切削之后，随即用非放射性刀具将试件加工面切去一层。

切屑的放射性强度采用12支CTC-1计数管组及闪烁计数器分别进行测量，互相校核所得之数据。

由试验结果得出：

(1) 在一般的碳钢中，含碳量越高，则切削性越好；而在含铬的碳钢中，碳量高可切削性反而较差。

(2) 評定各种材料可切削性时，用不同的切削速度及不同牌号的刀片会得出不同的结果，因之，这种評定是相对的。更值得注意的是，通过这种評定方法，可以找到所需評定切削性的材料的最适宜的刀具材料及切削规范。

(3) 利用定度曲线，可以求出在既定的切削条件下单位时间內刀具的绝对磨损量。如果刀具的允许磨损量已给出，则在这种切削条件下的刀具耐用度便可求出。

三、潤滑油的評定

实验是在研究金属磨损的Amsler型试验机上进行的。试验机的附加加油路循环系统很简单，用一个ШГ-05型齿轮油泵(压力5公斤/厘米²，流量5公斤/分)将润滑油循环，油泵由机器本身来驱动，在油路的旁边装上有四支计数管组以及一个II-349-2闪烁头的探测装置。图9所示即为机器附加加油路循环系统部分。

试验采用了圆盘形试样，由45号钢制成，调质硬度HR_C = 41。在上述试样的圆周均等地压入五根Co⁶⁰针，总放射强度为5毫居里。试样所受的负荷为80公斤，转速200转/分，评价一种润滑油试样，转20,000次。

在试验之前，应先检查油路系统是否会发生磨损颗粒的沉积。这种检查是这样进行的：将装有活性试样的磨损试验机开动1小时左右，这时润滑油便带有相当的放射性；随后让机器空转，只让齿轮油泵将润滑油循环，在二小时左右的时间内，不断测量润滑油的放



图9 評定潤滑油性能所用的Amsler試驗机及其附加循环油路系統

射性。如果所測的輻射強度接近一个常量的話,則表明油路沒有发生放射性磨損顆粒的沉积;如果所測得的輻射強度是不斷減弱的話,就表明了沉积現象已經發生。对于有沉积現象发生的油路,必須予以改进。

潤滑油評定的标准是借測定其放射性而进行的,所得出的某种潤滑油的磨損曲線的斜率越大,則表明其抗磨性能越差。对九种潤滑油进行評定的結果,列于下表。

用放射性同位素法对九种潤滑油評定的結果

編號	潤滑油成分	質量評定
1	100% 3号錠子油	
2	3号錠子油 + 1% MoS ₂	劣
3	45号机油 + 3% MoS ₂	
4	100% 45号机油	
5	3号錠子油 + 5% MoS ₂	
6	3号錠子油 + 3% MoS ₂	
7	45号机油 + 3% MoS ₂ + 1.5% 三甲苯酚磷酸酯	
8	3号錠子油 + 10% MoS ₂	优
9	45号机油 + 3% MoS ₂ + 3% 三甲苯酚磷酸酯	

參 考 文 獻

- [1] U. E. 吉雅琴柯著,熊大達譯,利用放射性同位素检查和研究机器磨损的方法。1956。
- [2] Всесоюзная конференция по применению изотопов и ядерных излучений, 1958. Машиностроение и Приборостроение.
- [3] Радиоактивные изотопы и ядерные излучение в народном хозяйстве, СССР, 1961.
- [4] Исследование износстойкости антифрикционных материалов применяемых для деталей двигателей, НАТИ, 1958.
- [5] Applications of radioactive isotopes and fission products in research and industry, 1956.
- [6] SAE trans, Vol. 60, 1952, Vol. 66, 1958.
- [7] 熊大達等,利用放射性同位素研究国产硬质合金刀具磨损試驗報告。

(編輯部收稿日期 1962年4月11日)

应用放射性同位素P³²标志几种昆虫及研究其 迁徙能力的初步試驗*

趙善欢 莫蒙异 鹿雄飛
(华南农学院)

应用示踪原子来研究昆虫的飞翔、散布、食性、为害及越冬蛰伏等方面,給昆虫生态学研究开辟了新的广闊的途径。昆虫生态和习性的研究不仅在生态学本身有其理論价值,而且对于害虫防治也有其实际意义,因为一切害虫的防治措施,都是根据害虫的生活习性而提出的。

粘虫(*Pseudaletia separata*)、劳氏粘虫(*Leucania loreyi*)、白脉粘虫(*Leucania nenalba*)、三化螟虫(*Schoenobius incertulas*)、番薯小象鼻虫(*Cylas formicarius*)是南方水稻及番薯的重要害虫。赤眼卵蜂(*Trichogramma evanescens*)在广东已应用它来防治甘蔗螟虫,而且在生产上取得了一

* 本文曾在1960年2月全国昆虫学术討論会上作过报告。